

こ まき い せき
小 牧 遺 跡

—町道上町平小牧線道路改良工事に伴う発掘調査報告書—

2003.3

宮崎県宮崎郡佐土原町教育委員会

序

この報告書は、町道上町平小牧線道路改良工事に伴い、平成13年度に佐土原町教育委員会が主体になり行った「小牧遺跡」発掘調査の報告書です。

佐土原町では、開発事業が計画される地域の埋蔵文化財の発掘調査を行い、文化財の保護と啓発に努めています。

今回の発掘調査地は、小牧台団地が立地する丘陵南側縁辺部に位置し、調査地の対岸は、石崎川の川跡に囲まれた約 6 ヘクタールの低地で字名の開から河川を堀として利用した防衛的な館跡と推測されています。「小牧遺跡」で確認された遺構は、佐土原町の歴史を考えていく上で興味深い資料となります。

この発掘調査の記録が、今後の調査・研究・考察の基礎となり、また、皆様の文化財への理解と認識を深める一助となり、教育・研究の現場などで幅広くご活用をいただければ幸いに存じます。

平成15年 3月

佐土原町教育委員会
教育長 菊池 俊彦

例　言

1. 本書は、町道上町～平小牧線道路建設事業に伴い、佐土原町教育委員会が主体となり実施した「小牧遺跡」の発掘調査報告書である。
2. 発掘調査は、佐土原町建設課の依頼を受け、佐土原町教育委員会が主体となり、平成13年度に社会教育課文化財係が行った。
3. 発掘調査は、平成13年9月17日から11月7日までの期間行った。
4. 本書に使用した写真は、木村が撮影し、空中写真測量は九州航空株式会社による。
5. 自然化学分析については、株式会社 古環境研究所に委託して行った。その結果は、付編として本書に掲載している。
6. 本書で使用した位置図などは、国土地理院発行の2万5千分の1図を基に作成した。
7. 出土遺物は、佐土原町教育委員会（佐土原町出土文化財管理センター）で保管している。
8. 色調は、農林水産省農林水産技術会議事務局監修「新版標準土色帖」による。
9. 方向は磁北、レベルは海拔高である。
10. 本書の編集は、佐土原町教育委員会文化財係主幹 木村明史が担当。

本文目次

第1章 はじめに	
第1節 調査に至る経緯	12
第2節 調査の組織	12
第3節 遺跡の位置と環境	13
第2章 小牧遺跡の調査	
第1節 調査の概要	14
第2節 基本層序	14
第3節 遺構・遺物	36
第3章 まとめ	47
付編 小牧遺跡の自然化学分析	48

挿図目次

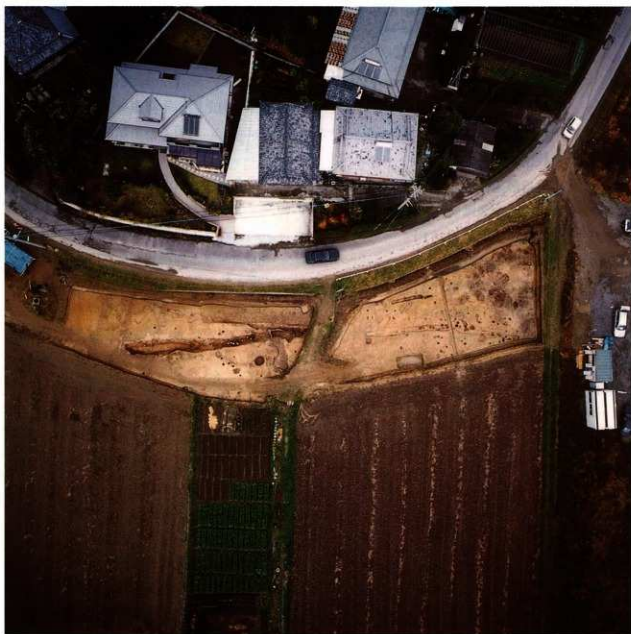
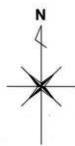
第1図	小牧遺跡の位置と周辺の遺跡	15
第2図	小牧遺跡の調査範囲及び周辺地形図	16
第3図	小牧遺跡の基本土層図	17
第4図	小牧遺跡調査区及びトレーンチ配置図	18
第5図	小牧遺跡遺物分布図 I区	19
第6図	小牧遺跡遺物分布図 II区	20
第7図	小牧遺跡遺構平面図全体	21
第8図	小牧遺跡遺構 I区	22
第9図	小牧遺跡遺構 II区	23
第10図	小牧遺跡 I区南側土層断面図	24
第11図	小牧遺跡 I区東側・西側土層断面図	25
第12図	小牧遺跡 I区北側土層断面図	26
第13図	小牧遺跡 II区南側土層断面図	27
第14図	小牧遺跡 II区西側・東側土層断面図	28
第15図	小牧遺跡 II区北側土層断面図	29
第16図	小牧遺跡 I区土層断面図 ①～⑨	30
第17図	小牧遺跡 I区上層断面図 ⑩～⑯	31
第18図	小牧遺跡 II区土層断面図 ①～⑩	32
第19図	小牧遺跡 II区土層断面図 ⑪～⑯	33
第20図	小牧遺跡 II区土層断面図 ⑯～⑰	34
第21図	小牧遺跡 II区土層断面図 ⑰～⑲	35
第22図	小牧遺跡出土遺物実測図 (椀)	37
第23図	小牧遺跡出土遺物実測図 (碗)	38
第24図	小牧遺跡出土遺物実測図 (皿・小鉢)	39
第25図	小牧遺跡出土遺物実測図 (すり鉢)	40
第26図	小牧遺跡出土遺物実測図 (壺・盤)	41
第27図	小牧遺跡出土遺物実測図 (その他)	42
第28図	小牧遺跡出土遺物実測図 (瓦)	43

表目次

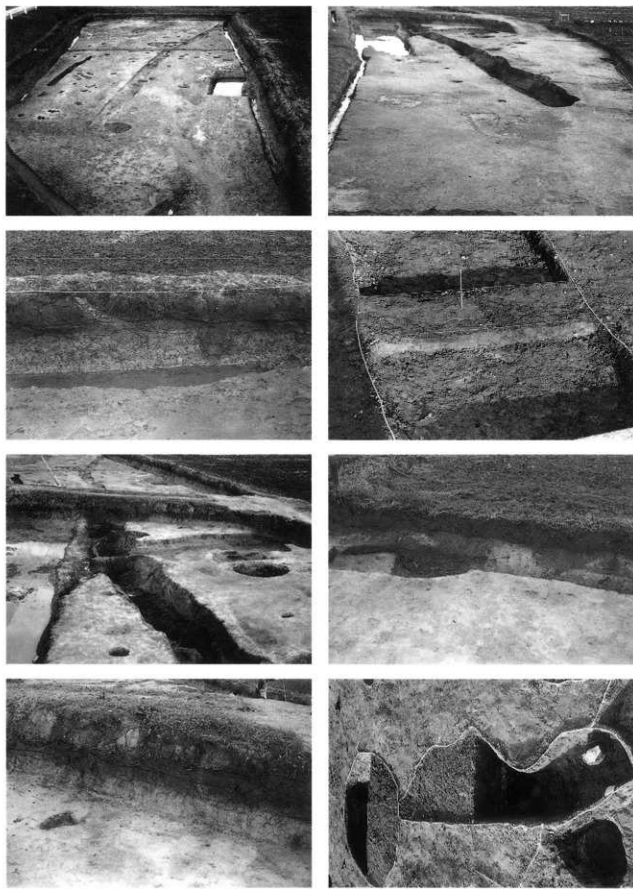
第1表	小牧遺跡出土遺物観察表（土器・陶磁器）	44
第2表	小牧遺跡出土遺物観察表（その他）	45
第3表	小牧遺跡出土遺物観察表（瓦）	46

図版目次

図版1	小牧遺跡調査地	1
図版2	小牧遺跡構造（1）	2
図版3	小牧遺跡構造（2）	3
図版4	小牧遺跡作業風景（1）	4
図版5	小牧遺跡出土遺物（1）	5
図版6	小牧遺跡出土遺物（2）	6
図版7	小牧遺跡出土遺物（3）	7
図版8	小牧遺跡出土遺物（4）	8
図版9	小牧遺跡出土遺物（5）	9
図版10	小牧遺跡出土遺物（6）	10
図版11	小牧遺跡出土遺物（7）	11



小牧遺跡調査地



小牧遺跡遺構（1）



小牧遺跡遺構（2）



小牧遺跡作業風景（1）



③

④

⑥

⑧



⑤

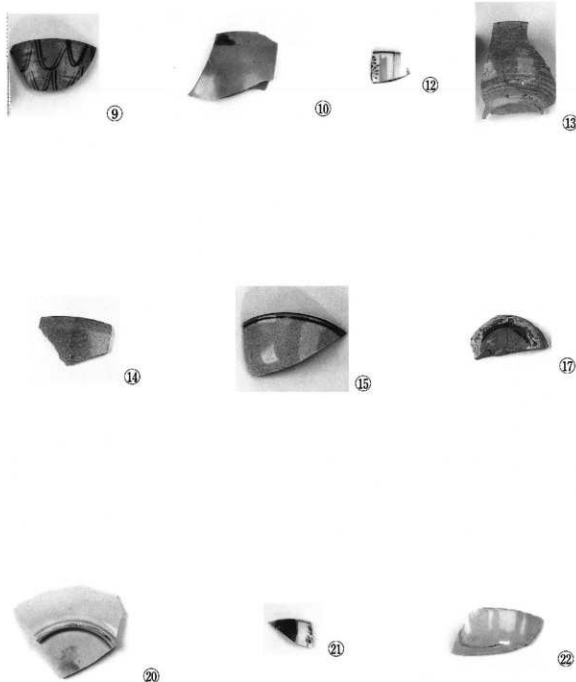
⑦

⑪

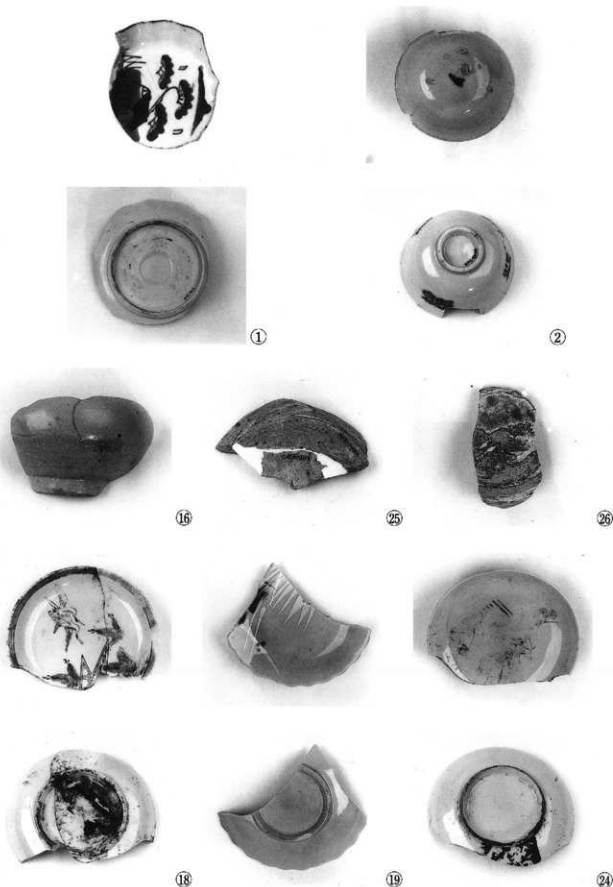
㉓

㉗

小牧遺跡出土遺物 (1)



小牧遺跡出土遺物（2）



小牧遺跡出土遺物（3）



②8



②9



③0



③1

小牧遺跡出土遺物 (4)



②



③



④



⑤

小牧遺跡出土遺物 (5)



⑥



⑦



⑧



⑨



⑩



⑪



⑫



⑬



小牧遺跡出土遺物（6）



④



⑤



⑥



⑦



⑧



⑨



⑩



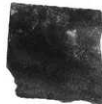
⑪



⑫



⑬



⑭

小牧遺跡出土遺物（7）

第1章 はじめに

第1節 調査に至る経緯

佐土原町建設課事業「町道上町平小牧線整備」地区内に佐土原町埋蔵文化財包蔵地「小牧遺跡（1031）」が存在する。そこで佐土原町教育委員会は、事前確認調査を平成12年11月16日～12月8日にかけて実施した。この結果、中世期から近世期にかけての遺構（柱穴・V字状）と遺物及び土層中から自然化学分析によりプラント・オパール（植物珪酸体：植物細胞化石）が検出された。これを受けて、建設課との協議の結果、遺跡の現状保存は困難であることから佐土原町教育委員会を主体として、記録保存を目的とする発掘調査を実施することになった。

調査対象地は水田・山林地で、調査期間は平成13年9月17日から同年11月7日まで実施した。

第2節 調査の組織

平成13年度

調査主体	佐土原町教育委員会	教 育 長	菊池 俊彦
		社会教育課長	松崎 直彦
		同課長補佐	年見 秀雄
庶 務 担 当	文化財係長	東 浩一郎	
	主 査	黒木 直英	
	主 事	櫛間 史朗	
調 査 担 当	主 査	木村 明史	
佐土原城跡歴史資料館	館 長	赤木 達也	
出土 遺 物 整 理 員			(7月まで)
			(9月から)

平成14年度

調査主体	佐土原町教育委員会	教 育 長	菊池 俊彦
		社会教育課長	松崎 直彦
		同課長補佐	年見 秀雄
庶 務 担 当	文化財係長	東 浩一郎	
	上 任 主 事	清 正	
	主 事	櫛間 史朗	(9月まで)
調 査 担 当	主 幹	木村 明史	
佐土原城跡歴史資料館	館 長	赤木 達也	
出土 遺 物 整 理 員			(10月まで)
			(1月から)

第3節 遺跡の位置と環境

佐土原町は、日向灘に面する宮崎平野のはば中央に位置する。東側を宮崎海岸の沿岸に接し、西側は西都原古墳群を有する西都市と面し、北側は・ツ瀬川を隔てて新富町を構え、南側は県都宮崎市と連なる。地勢は、平野と山地で半々占められている。・ツ瀬川沿い開けた北部平野は川の氾濫により低湿地を含む低地である。内陸部の那珂低地は、佐土原丘陵・船野台地・年居台地に開まれている。船野台地から北西を望めば、都於郡・仲間原台地が広がる。さらに遠望すると九州山地・霧島連山が目に触れる。日向灘に南北に平行して幅凡そ2kmの広瀬海岸低地が横たわる。

小牧遺跡は、その中の佐土原丘陵南側縁辺部の標高5mに立地し、その周辺には、広瀬村古墳、土器田横穴群と多くの古墳施設が埋設されている。小牧遺跡の北側には、小牧園地、南側の右崎川の川跡対岸に開まれた6ヘクタールの低地には、宮崎県埋蔵文化財センターが建つ。また、この低地は、字名の団から河川を堰として利用した防禦的な館跡と推測されている。地質的特徴は、丘陵南側縁辺部と石崎川の後背湿地及び谷底堆積物によって成り立っている。地形上、縁辺部は沖積面低地で、表層は砾・砂・泥で形成され、上壤は細粒灰色低地土壤の性質を有する。

第2章 小牧遺跡の調査

第1節 調査の概要

現状は、雑種地と水田によって形成されている。調査当初は、雑種地の伐採から始めた。表土は、パケット付き重機で約30cmの剥ぎ取り作業を行う。作業地区は、西側のⅠ区と東側のⅡ区に分ける。遺構は、作業台が搬入で遺構包含層を削り取りながら検出していく。表上面下、40~50cmから明瞭な掘り込み痕が表出してくる。現水田面を1層とする3層目の黄橙シルト上から遺構が掘り込まれる。遺構の中に2層包含層褐灰シルトが埋まり込む。Ⅰ・Ⅱ区の遺構をすべて検出後、遺構事にセクションベルトを設け、掘り込み作業を進める。包含流入土の除去後、セクションベルトの実測・写真撮影完了後、ベルトを除去する。遺物を残した状況で空中測量を行い、終了後、遺物を探り上げ完掘状況を撮影する。最後にⅠ・Ⅱ区地区周辺の地形土層の実測を行う。

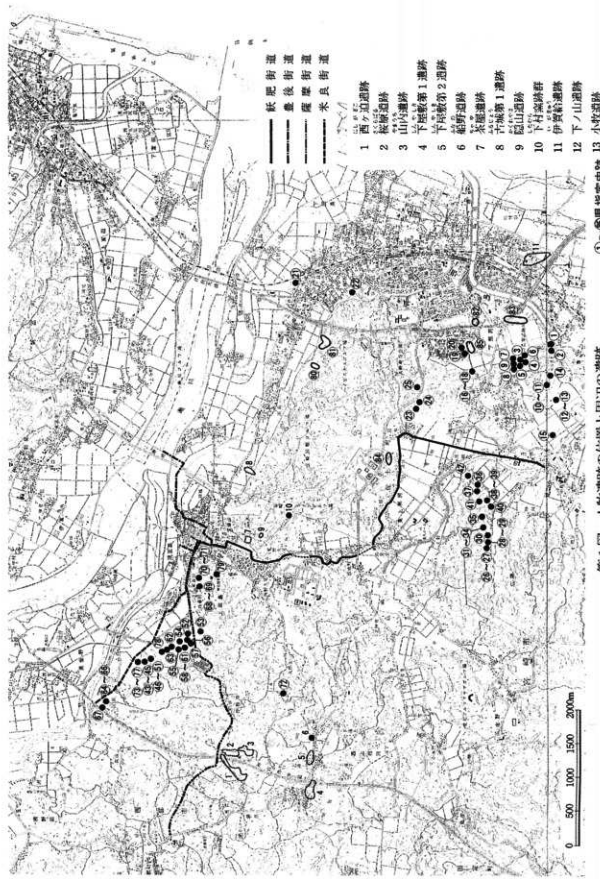
第2節 基本層序

調査地の地形・地質は、基盤の宮崎層群が旧海域に突出していた地域に位置する。旧石崎川は、大きな曲流なので調査地は氾濫源に当たると併に蛇行の頸状部で出水時には度々洪水を受けていたと思われる。

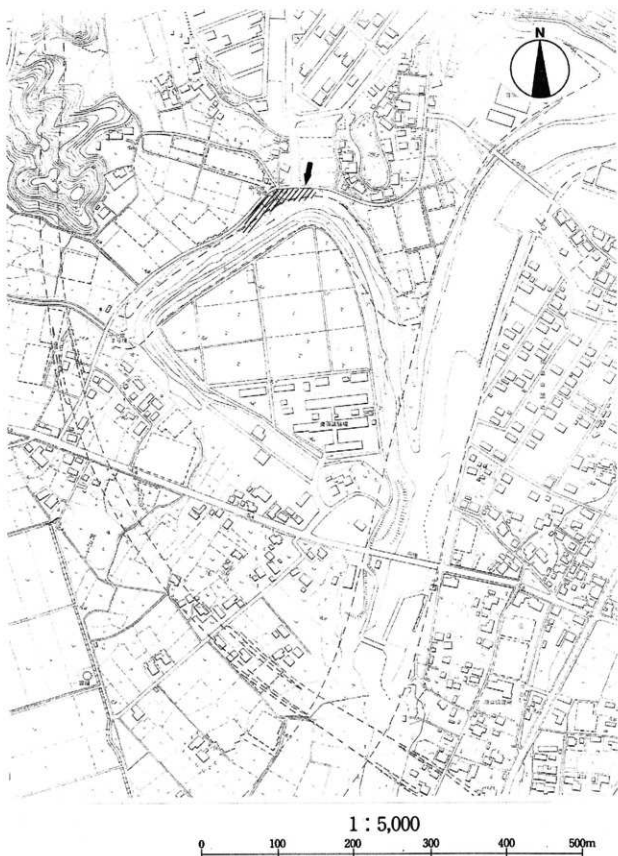
上流地域の台地や丘陵線辺は、宮崎層群の基盤状に始良火碎流堆積物（シラス）構成によるシラス台地である。台地から供給された円礫転石等は、洪水で下流域に運ばれ、暗灰色～褐色の漂混じり火山灰質粘性土となり氾濫源地帯の調査地へ2次堆積していったと推測される。

調査の層序は、第1層から第6層に分層した。

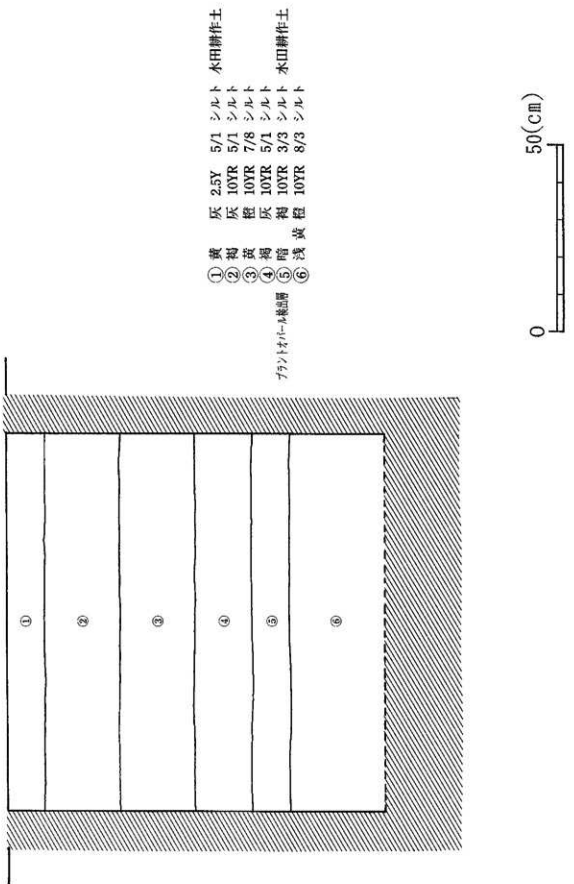
内訳は、第1層現水田耕作土・第2層遺物包含層・第3層生活基盤層・第4層遺物包含層・第5層水田耕作土・第6層基盤層に分けられる。その内、理藏文化財の出土層は、第2層から第3層・第5層である。第5層は、プラント・オバールが検出された。時期区分は、中世期から近世期にかけてに相当する。第2層と第4層から遺物が出土。遺構については、第3層から溝状遺構・柱穴・性格不明上壙が検出された。



第1図 小牧通跡の位置と周辺の通跡

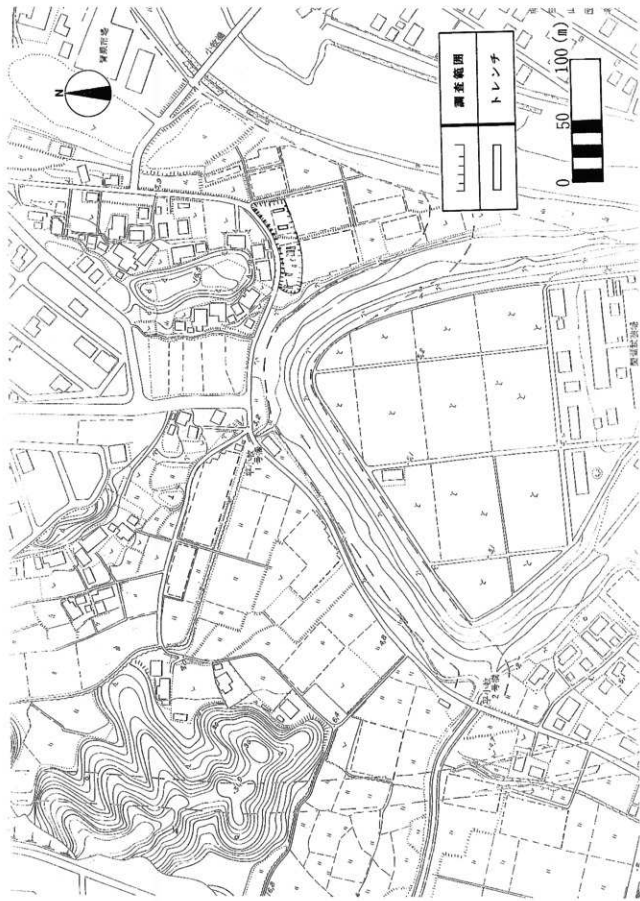


第2図 小牧遺跡の調査範囲及び周辺地形図

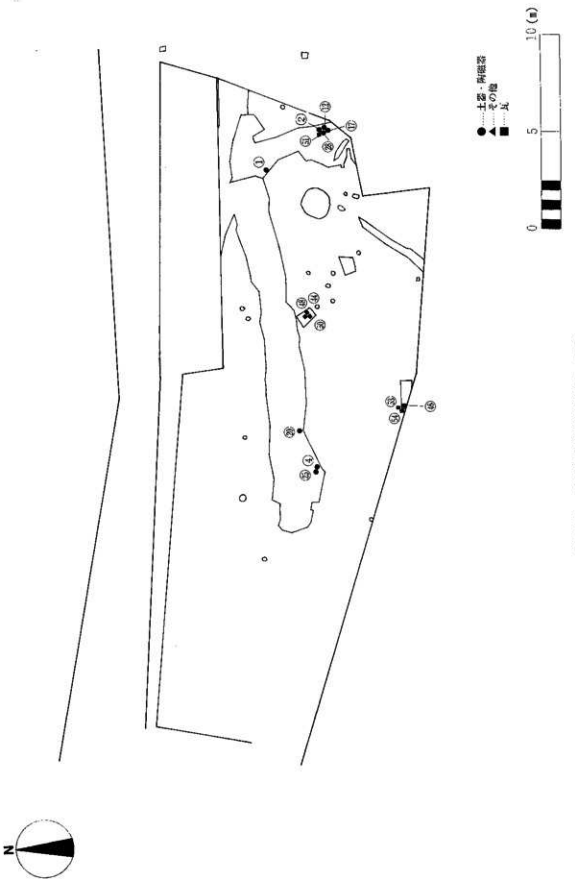


第3図 小牧養鶏の基本土層図

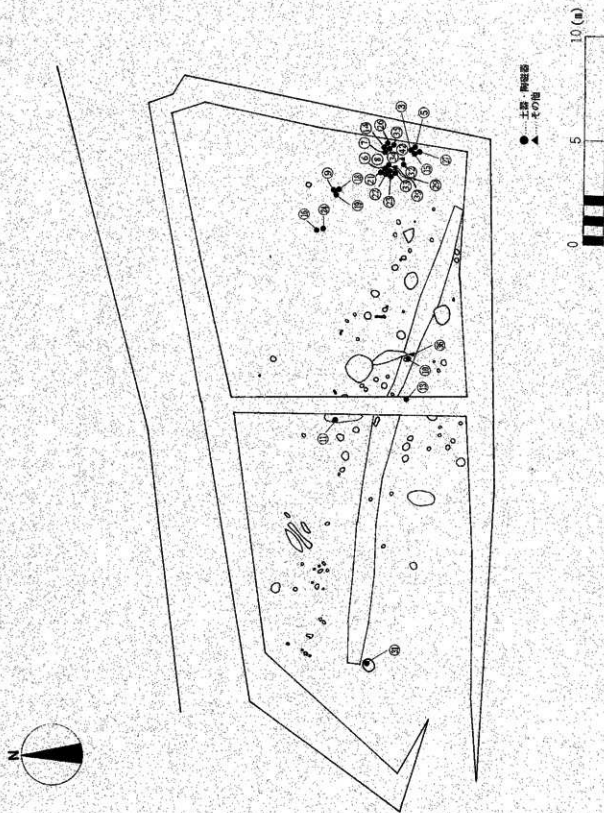
第4図 小牧遺跡調査区及びトレンチ配置図



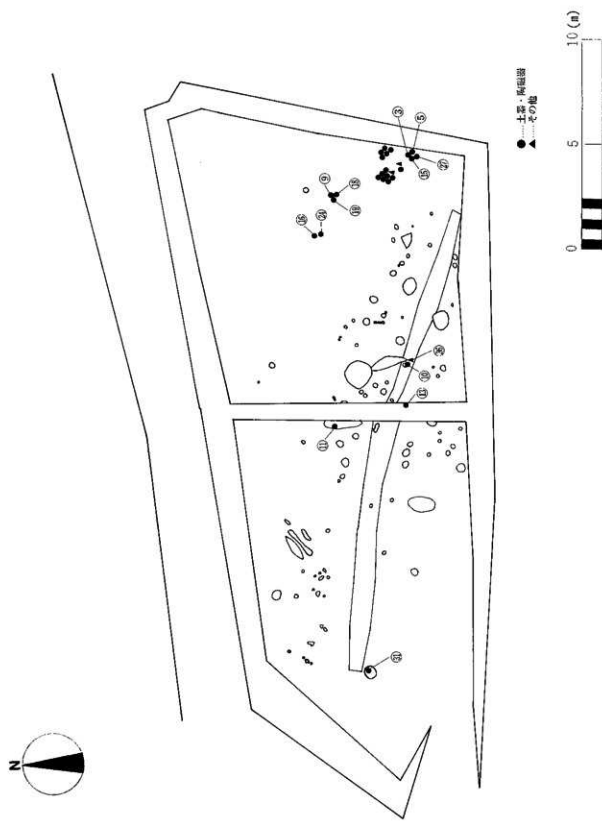
第5図 小牧遺跡遺物分布図 I区



第6図 小牧養豚場分布図 II区

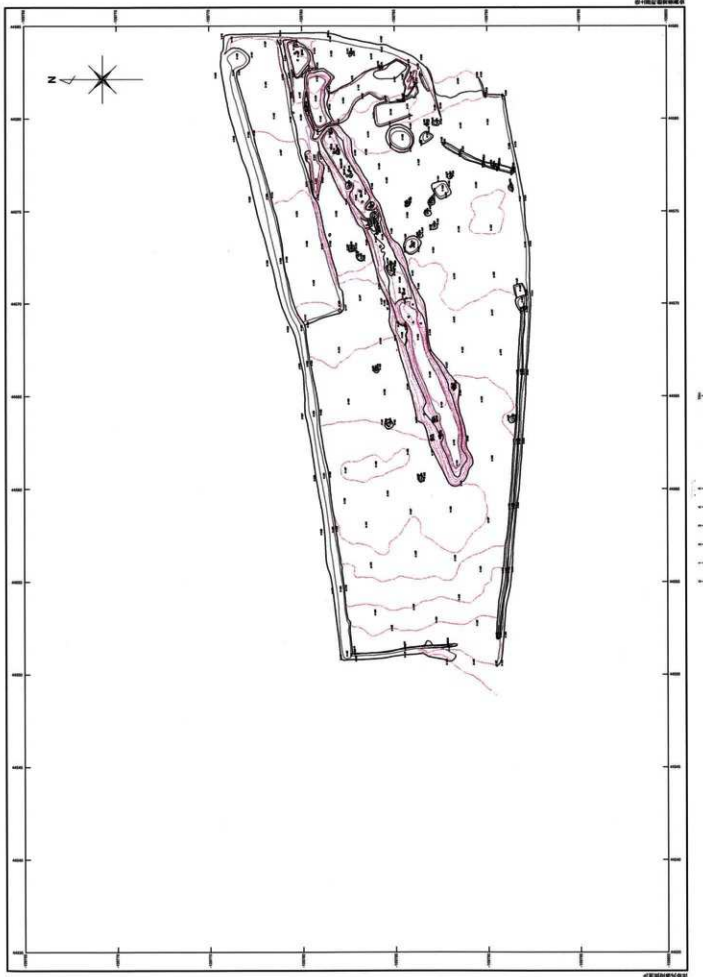


第6図 小牧遺跡遺物分布図 I区

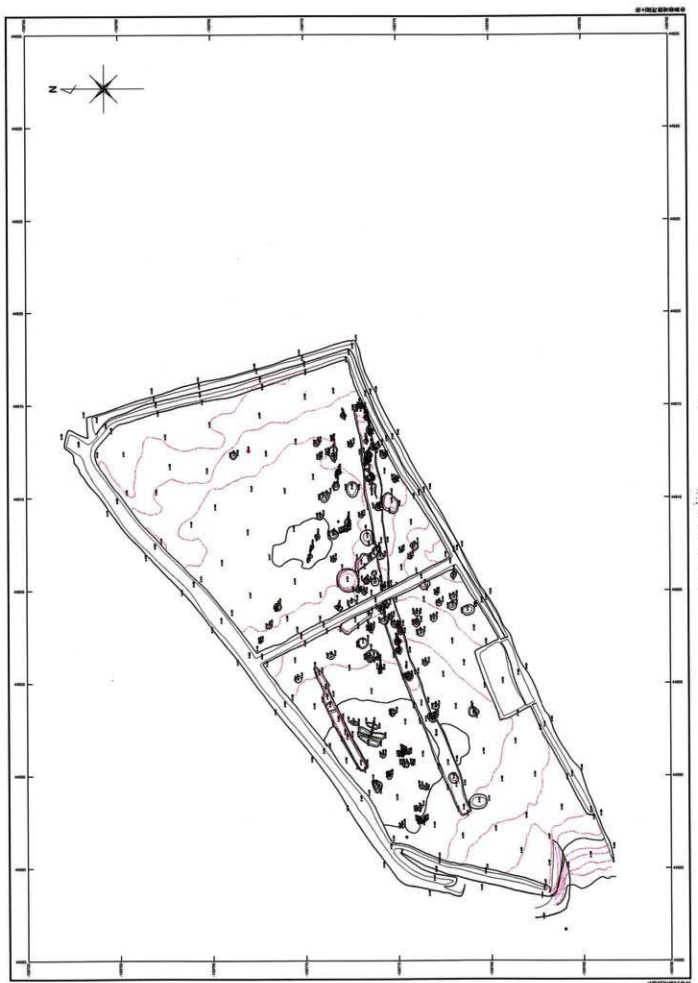




第7図 小牧遺跡遺構平面図全体

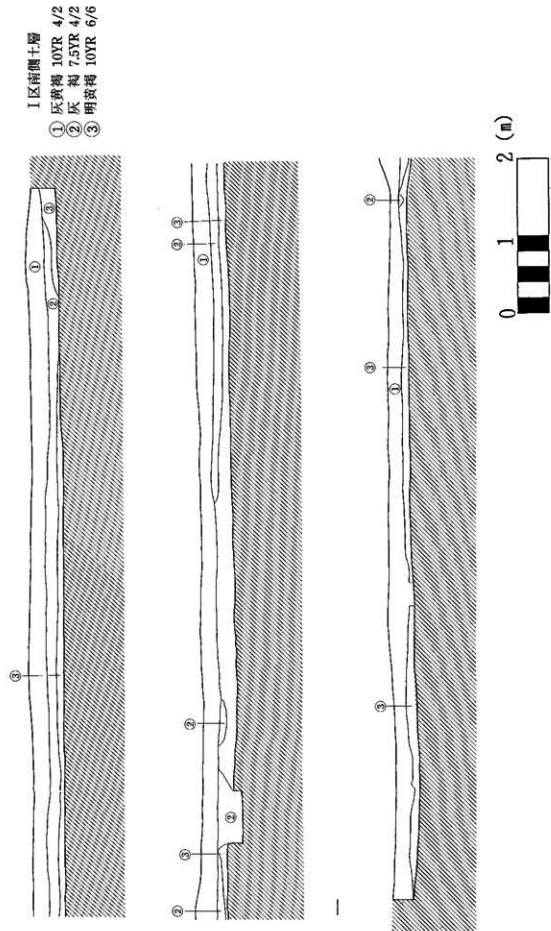


第8図 小牧遺跡遺構Ⅰ区

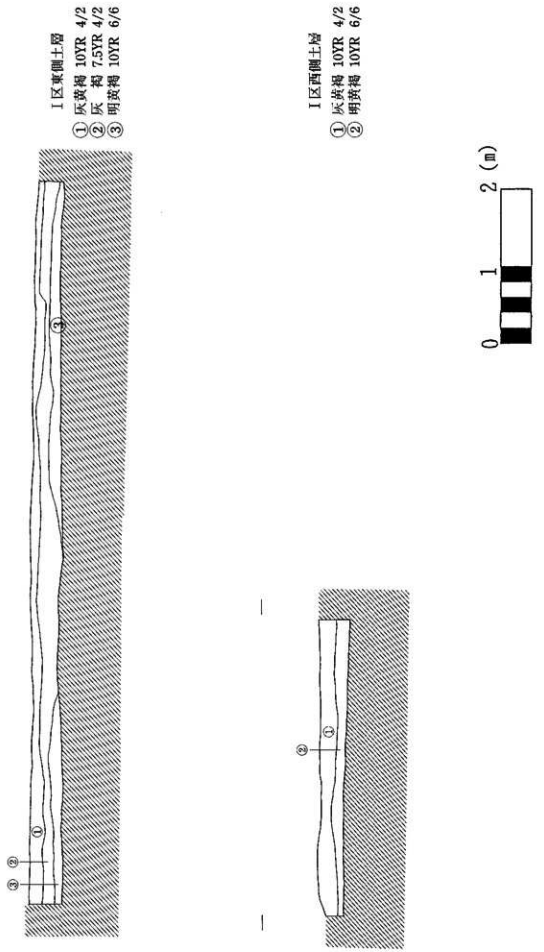


第9図 小牧遺跡遺構Ⅱ区

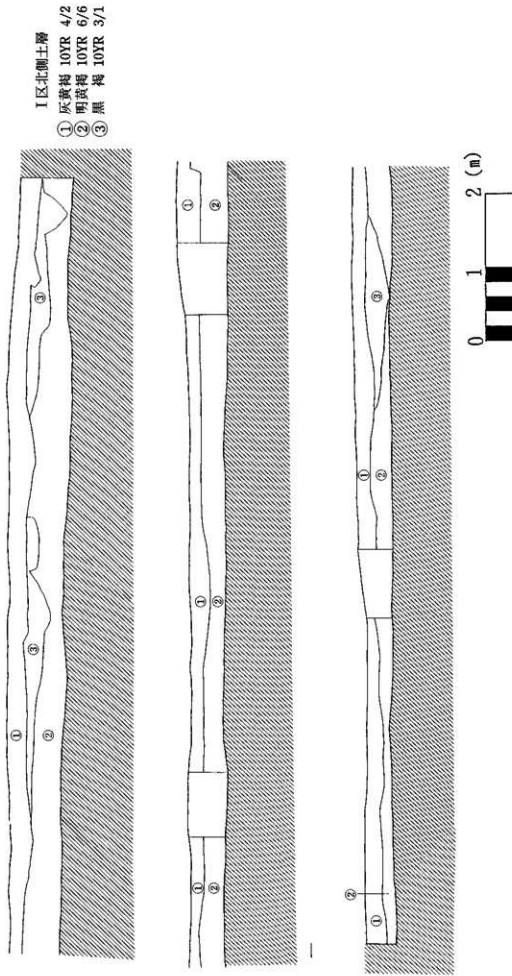
第10图 小牧遗址I区南侧土层断面图



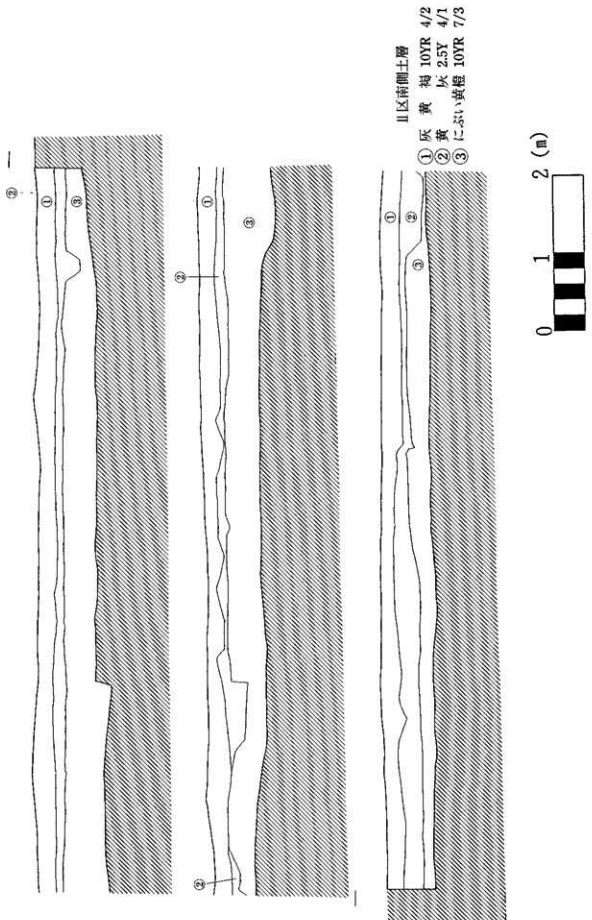
第11図 小牧道路Ⅰ区東側・西側土層断面図



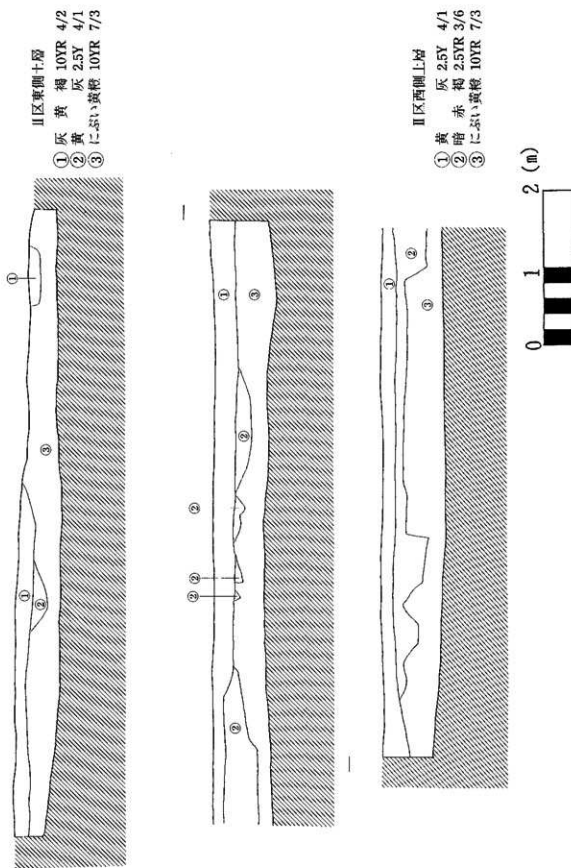
第12图 小牧道路I区北侧土层断面图



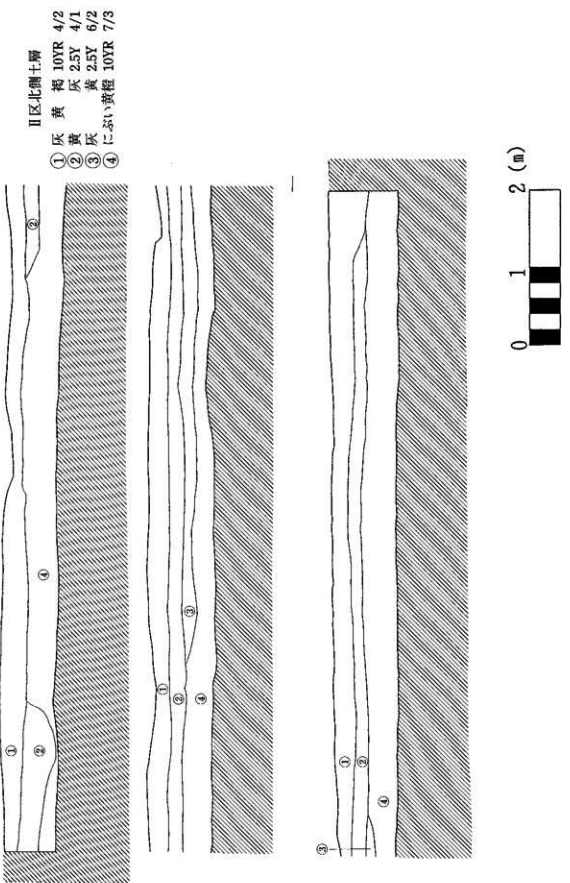
第13図 小牧道路Ⅱ区南側土層断面図

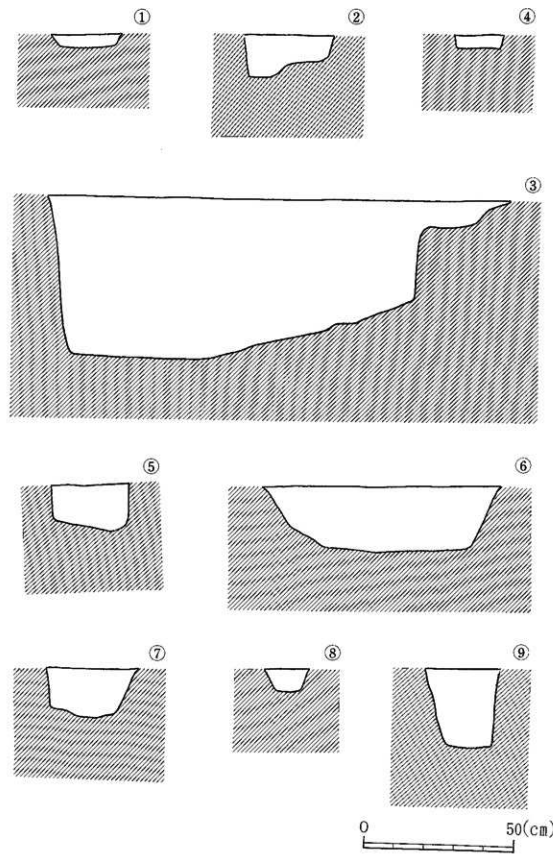


第14図 小牧遺跡Ⅱ区西側・東側土層断面図

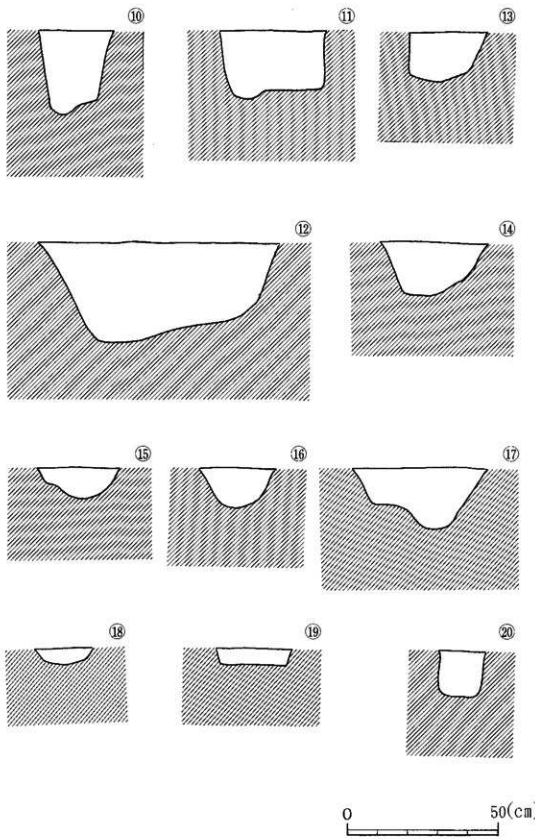


第15図 小牧漁跡Ⅱ区北側土層断面図

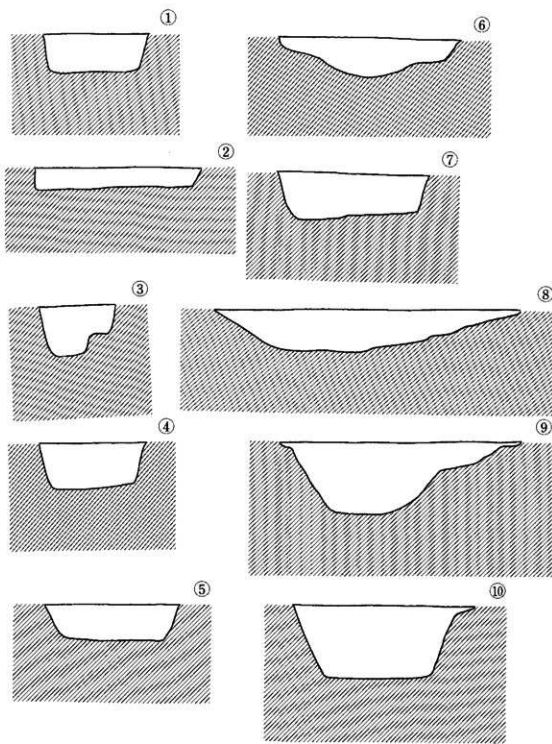




第16図 小牧遺跡 I 区土層断面図 ①～⑨

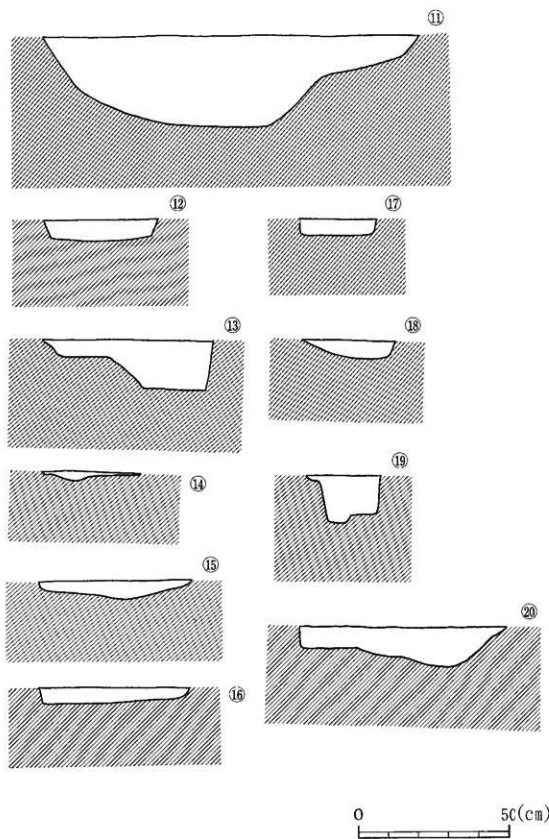


第17図 小牧遺跡I区土層断面図 ⑩～⑯

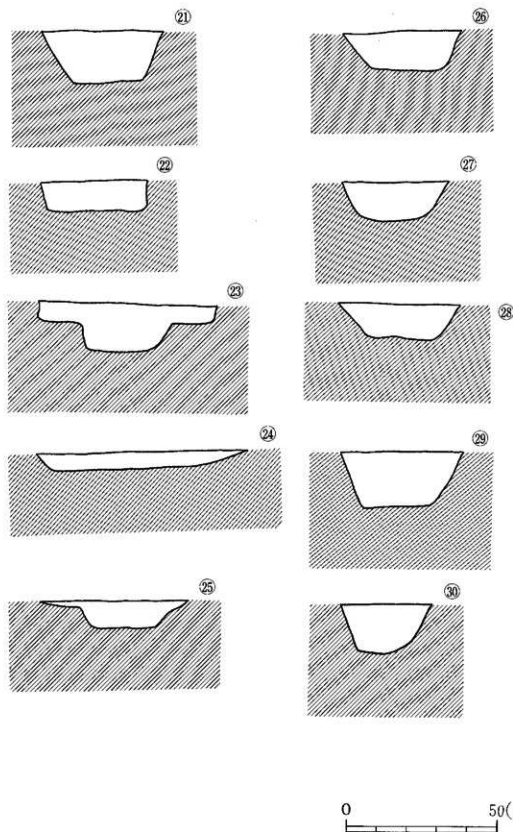


0 50(cm)

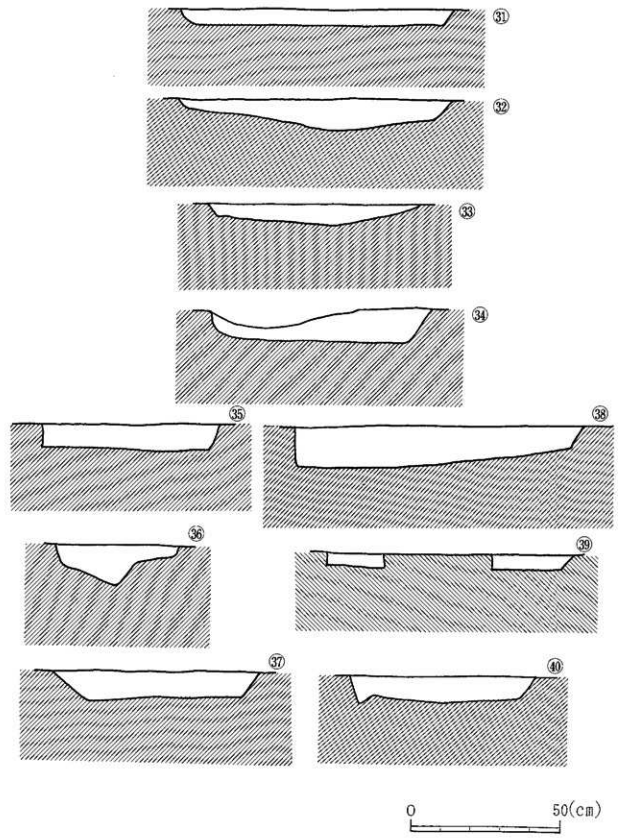
第18図 小牧遺跡Ⅱ区土層断面図 ①～⑩



第19図 小牧遺跡Ⅱ区土層断面図 ⑪～⑯



第20図 小牧遺跡Ⅱ区土層断面図 ②1～③0

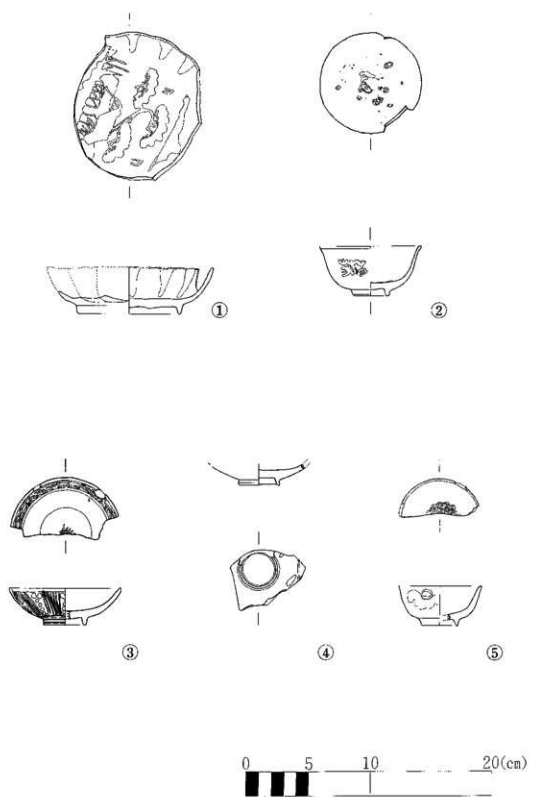


第21図 小牧遺跡Ⅱ区土層断面図 ③1~④0

第3節 遺構・遺物

遺構については、第3層の生活基盤層に溝状遺構・柱穴・性格不明上塙が掘り込まれ、第5層に水田耕作上遺構が東側隅に僅かに残存している。I地区の溝状遺構は、V字状遺構で深さは、約1m～50cmで円礫転石が多く出土した。柱穴遺構は、29穴ほど不規則に並ぶ。深さは、約10cm～30cmで、幅は約15cm～90cmである。性格不明上塙3構。II地区の溝状遺構は、U字状遺構で底は約10cmと浅い。柱穴の128穴は、北西～東西方向に規則性をもって並ぶグループとその他の不規則なグループに分けられる。深さは約10cm～15cmで幅は約10cm～80cmである。性格不明上塙2構。

遺物については、陶磁器類は35点、その他の硯・土錘・水差し系は8点、瓦類は11点出土した。内訳は、陶磁器類の楕17点、皿8点、小鉢2点、すり鉢4点、壺3点、盤1点、その他の硯2点、土錘1点、水差し1点、人形の型の頭部1点、把手1点、不明2点、瓦の掛平瓦2点、平瓦2点、棟瓦4点、片切棟瓦1点、熨斗瓦2点以上である。時期は、中世期から近世期にかけてと幅広く出土している。



第22図 小牧遺跡出土遺物実測図（碗）



⑥



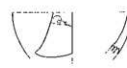
⑦



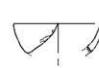
⑧



⑨



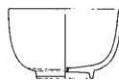
⑩



⑪



⑫



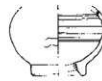
⑬



⑭



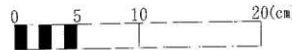
⑮



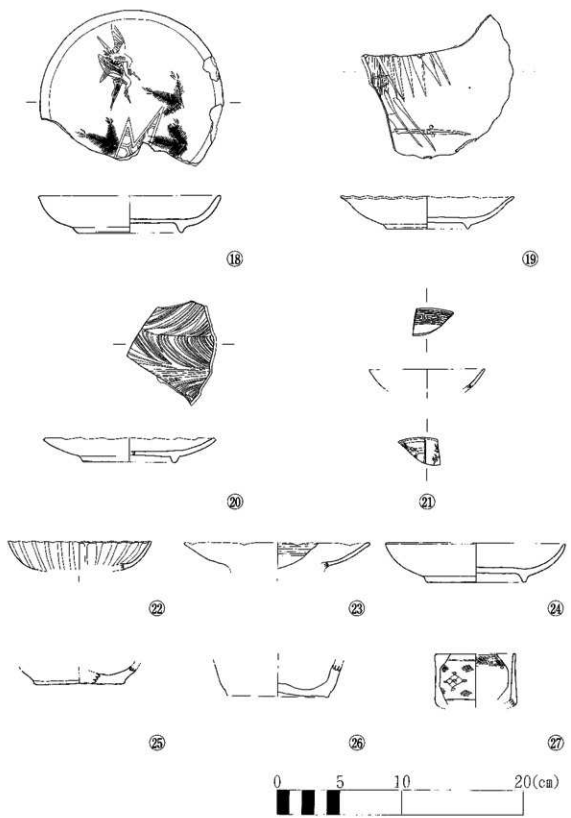
⑯



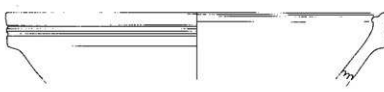
⑰



第23図 小牧遺跡出土遺物実測図（椀）



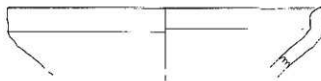
第24図 小牧遺跡出土遺物実測図 (Ⅲ・小鉢)



(28)



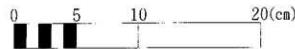
(29)



(30)



(31)



第25図 小牧遺跡出土遺物実測図（すり鉢）



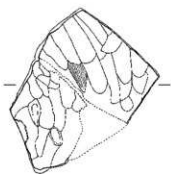
32



33



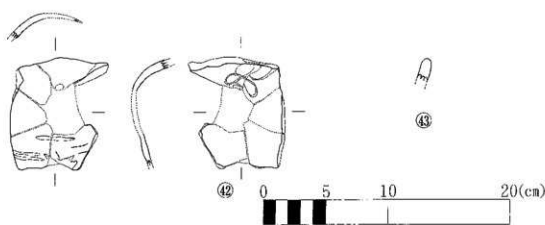
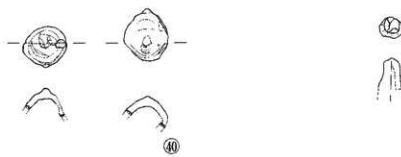
34



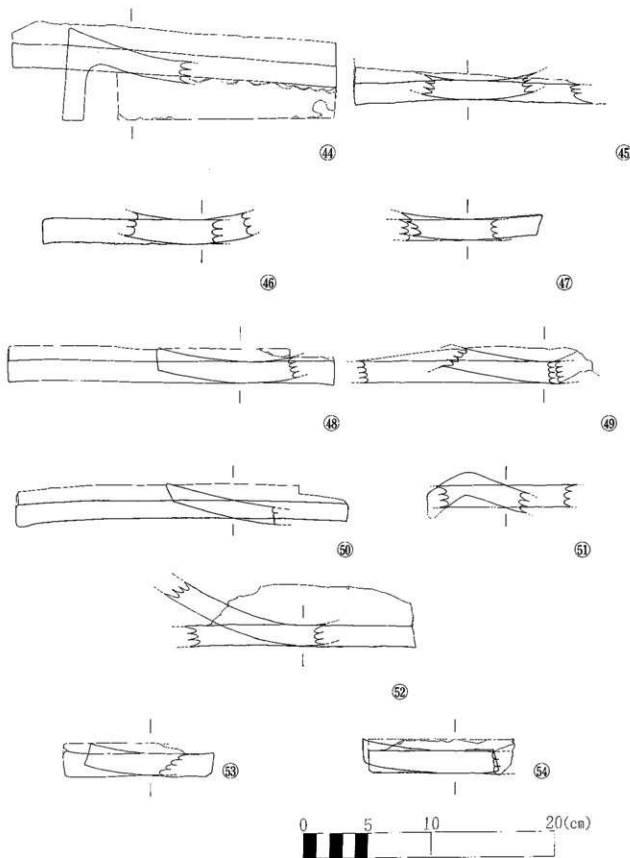
35

0 5 10 20(cm)

第26図 小牧遺跡出土遺物実測図（壺・盤）



第27図 小牧遺跡出土遺物実測図（その他）



第28図 小牧遺跡出土遺物実測図（瓦）

番号	種別	出土地点	法量(cm)	成形・調整・文様など				色調 外面 内面	胎土の特徴	備考	
				内面	外縁	底部	工具による削毛目				
1	陶磁器	桶	KM I-50 約13.4	3.8	8.2	0.7			灰白	灰白	精良
2	陶磁器	口縁部	KM I-55	8.2	4.1	3	0.5				明緑灰
3	陶磁器	底部	KM I-7			3.4	3	丸彫様			明緑灰
4	陶磁器	底部	KM I-4			3.2	0.5	線状様			明緑灰
5	陶磁器	桶	KM I-7	6.7	3.2	3.4	0.6				精良
6	陶磁器	口縁部	KM I-5	8.6	4.35	3.5	0.75				灰白
7	陶磁器	桶	KM I-4	9.6							明緑灰
8	陶磁器	口縁部	KM I-5	(9.6)							明緑灰
9	陶磁器	桶	KM I-2 (10.1)								明緑灰
10	陶磁器	口縁部	KM I-14 (9.6)								灰白
11	陶磁器	桶	KM I-18	7.2							明緑灰
12	陶磁器	口縁部	KM I-18	(6.4)				草と花に似たような			明緑灰
13	陶磁器	桶	KM I-45 (9.2)	5.6	4.6	0.6					灰白
14	陶磁器	口縁部	KM I-4	9.8							浅黄
15	陶磁器	桶	KM I-7 約7.2								灰白
16	陶磁器	口縁部	KM I-3		4.2	0.9		買入			明緑灰
17	陶磁器	底部	KM I-55		4.8	0.5					にい・黄
18	陶磁器	口縁部	KM I-2		8.4	3					明緑灰
19	陶磁器	桶	KM I-2	14		6.5	0.45				にい・黄
20	陶磁器	口縁部	KM I-5		7.6	2					明緑灰
21	陶磁器	口縁部	KM I-5	9.3							灰白
22	陶磁器	桶	KM I-5	11.6							明緑灰
23	陶磁器	口縁部	KM I-5	15							青・灰白
24	陶磁器	口縁部	KM I-3	14.6	3.1	8	0.5				青・灰白
25	陶磁器	底部	KM I-4								浅黄褐 (7.5YR8/6)
26	陶磁器	小鉢	KM I-4	10.2		8.1	0.1				にい・黄
27	陶磁器	口縁部	KM I-7	約6.4							明緑灰
28	陶磁器	口縁部	KM I-7	31.1				横方向のナデ	備目 7 条 横方向のナデ		赤
29	陶磁器	口縁部	KM I-5	27.2					備目 7 条 剥毛ナデ		赤
30	陶磁器	口縁部	KM H-25					横方向のナデ	備目 6 条 留止のナデ		1mmドリッジの 金属の留止あり
31	陶磁器	口縁部	KM I-27								灰褐
32	陶磁器	口縁部	KM I-6 (29.4)					横方向のナデ	横方向のナデ		にい・赤
33	陶磁器	口縁部	KM I-5						剥毛ナデ		にい・赤
34	陶磁器	口縁部	KM I-4	46.0		32.0		横方向の 剥毛あり	横方向の 剥毛あり		浅黄褐
35	陶磁器	口縁部	KM I-4								にい・赤
		近1/10									7.5YR8/2

第1表 小牧遺跡出土遺物観察表（土器・陶磁器）

第3章　まとめ

小牧遺跡は、立地上において旧石崎川の曲流部に当たり氾濫源であった。そこで洪水時に上流のシラス台地や丘陵地から円礫転石や疊混じり火山質粘性土が当該遺跡に再度堆積した。今回の調査でⅠ地区の溝状造構から出土した多くの円礫はそれを物語っている。柱穴の並びは、不規則な上、中世期から近世期かけてとすれば本数が少なく簡易な建物であった可能性が高い。第5層の水田耕作層も確認できたのは一部だけでその他は、洪水時に失われたのではないか。遺物も陶磁器類と瓦で出土物の大半を占めるが、その多くは近年の遺物で流入と考えられる。このことからも小牧遺跡の性格は、氾濫源地帶上にあるので定住性には適さない。だが石崎川を挟んで南側の“畠”との関係で簡易な建物は、短期間不定期に建っていたと推測される。

付 編

佐土原町、小牧遺跡における自然化学分析

I. 小牧遺跡における放射性炭素年代測定

1. 試料と方法

試料名	地点・層準	種類	前処理・調整	測定法
No. 1	杭列、杭 1	木材	酸-アルカリ-酸洗浄、ベンゼン合成	β 線計数法
No. 2	杭 2	木材	酸-アルカリ-酸洗浄、ベンゼン合成	β 線計数法

2. 測定結果

試料名	^{14}C 年代 (年 B P)	$\delta^{13}\text{C}$ (‰)	補正 ^{14}C 年代 (年 B P)	暦年代(西暦)	測定法 (Beta-)
No. 1	190±60	-28.7	130±60	交点: cal AD 1690, 1730, 1810 1920, 1950 1 σ : cal AD 1670~1780, 1800~1950 2 σ : cal AD 1650~1960	164427
No. 2	1280±50	-29.0	1220±50	交点: cal AD 790 1 σ : cal AD 720~740, 760~880 2 σ : cal AD 680~910, 920~960	160568

1) ^{14}C 年代測定値

試料の $^{14}\text{C}/^{12}\text{C}$ 比から、単純に現在(1950年 A.D.)から何年前かを計算した値。 ^{14}C の半減期は、国際的慣例によりLibbyの5,568年を用いた。

2) $\delta^{13}\text{C}$ 測定値

試料の測定 $^{14}\text{C}/^{12}\text{C}$ 比を補正するための炭素安定同位体比($^{13}\text{C}/^{12}\text{C}$)。この値は標準物質(PDB)の同位体比からの千分偏差(%)で表す。

3) 補正 ^{14}C 年代値

$\delta^{13}\text{C}$ 測定値から試料の炭素の同位体分別を知り、 $^{14}\text{C}/^{12}\text{C}$ の測定値に補正值を加えた上で算出した年代。

4) 暦年代

過去の宇宙線強度の変動による大気中 ^{14}C 濃度の変動を校正することにより算出した年代(西暦)。校正には、年代既知の樹木年輪の ^{14}C の詳細な測定値、およびサンゴのU-Th年代と ^{14}C 年代の比較により作成された校正曲線を使用した。最新のデータベースでは、約19,000年 B.P.までの換算が可能となっている。

ただし、10,000年B.P.以前のデータはまだ不完全であり、今後も改善される可能性がある。

曆年代の交点とは、補正¹⁴C年代値と曆年代較正曲線との交点の曆年代値を意味する。 1σ (68%確率)・ 2σ (95%確率)は、補正¹⁴C年代値の偏差の幅を較正曲線に投影した曆年代の幅を示す。したがって、複数の交点が表記される場合や、複数の 1σ ・ 2σ 値が表記される場合もある。

文献

Stuiver,M.,et.al., (1998),INTCAL98 Radiocarbon Age Calibration,Radiocarbon,40 (3).

中村俊夫 (1999) 放射性炭素法：考古学のための年代測定学入門. 古今書院. P.1-36.

II. 小牧遺跡におけるプラント・オパール分析

1. はじめに

植物珪酸体は、植物の細胞内にガラスの主成分である珪酸 (SiO_3) が蓄積したものであり、植物が枯れたあとも微化石（プラント・オパール）となって土壤中に半永久的に残っている。プラント・オパール分析は、この微化石を遺跡土壤などから検出して同定・定量する方法であり、イネの消長を検討することで埋蔵水田跡の検証や探査が可能である（杉山、2000）。

2. 試料

試料は、9トレンチ、溝状遺構、土層断面の3地点から採取された計20点である。試料採取箇所を分析結果の模式柱状図に示す。

3. 分析法

プラント・オパールの抽出と定量は、プラント・オパール定量分析法（藤原、1976）をもとに、次の手順で行った。

- 1) 試料を105°Cで24時間乾燥（絶乾）
- 2) 試料約1gに対し直径約40μmのガラスピーブズを約0.02g添加（電子分析天秤により0.1mgの精度で秤量）
- 3) 電気炉灰化法（550°C・6時間）による脱有機物処理
- 4) 超音波水中照射（300W・42KHZ・10分間）による分散
- 5) 沈底法による20μm以下の微粒子除去
- 6) 封入剤（オイキット）中に分散してプレパラート作成
- 7) 検鏡・計数

同定は、イネ科植物の機動細胞由来するプラント・オパールをおもな対象とし、400倍の偏光顕微鏡下で行った。計数は、ガラスピーブズ個数が400以上になるまで行った。これはほぼプレパラート1枚分の精査に相当する。試料1gあたりのガラスピーブズ個数に、計数されたプラント・オパールとガラスピーブズ個数の比率をかけて、試料1g中のプラント・オパール個数を求めた。

また、おもな分類群についてはこの値に試料の仮比重と各植物の換算係数（機動細胞珪酸体1個あたりの植物体乾重、単位： 10^3g ）をかけて、単位面積で厚さ1cmあたりの植物体生産量を算出した。イネ（赤米）の換算計数は2.94（種実重は1.03）、ヒエ属（ヒエ）は8.40、ヨシ属（ヨシ）は6.31、ススキ属（ススキ）は1.24、タケ亜科（ネザサ節）は0.48である。

4. 分析結果

水田跡（稲作跡）の検討が主目的であることから、同定および定量はイネ、ヒエ属型、ヨシ属、ススキ属型、タケ亜科の主要な5分類群に限定した。これらの分類群について定量を行い、その結果を表1および図1に示した。写真図版に主要な分類群の顕微鏡写真を示す。

5. 考察

(1) 水田跡の検討

水田跡（稲作跡）の検証や探査を行う場合、一般にイネのプランツ・オバールが試料1gあたり5,000個以上と高い密度で検出された場合に、そこで稲作が行われていた可能性が高いと判断している（杉山、2000）。ただし、密度が3,000個/g程度でも水田遺構が検出される事例があることから、ここでは判断の基準を3,000個/gとして検討を行った。

1) 9トレンチ

1層（試料1）から6層（試料6）までの層準について分析を行った。その結果、1層（試料1）から5層（試料5）までの各層からイネが検出された。このうち、1層（試料1）では密度が5,200個/gと高い値であり、2層（試料2）でも3,700個/gと比較的高い値である。これらは、現在および比較的最近の水田耕作に由来すると考えられる。5層（試料5、暗褐色粘質土）では、密度が4,500個/gと比較的高い値であり、明瞭なピークが認められた。したがって、同層では稲作が行われていた可能性が高いと考えられる。その他の試料では、密度が800~1,500個/gと比較的低い値である。イネの密度が低い原因としては、稲作が行われていた期間が短かったこと、土層の堆積速度が速かったこと、洪水などによって耕作土が流出したこと、採取地点が畦畔など耕作面以外であったこと、および上層や他所からの混入などが考えられる。

2) 溝状遺構

溝状遺構埋土の1層（試料1）～5層（試料5）およびその下位の6層（試料6）について分析を行った。その結果、1層（試料1）と6層（試料6）からイネが検出された。密度は800~1,500個/gと比較的低い値である。イネの密度が低い原因としては、前述のようなことが考えられる。

3) 上層断面

1層（試料1）から8層（試料8）までの層準について分析を行った。その結果、イネはいずれの試料からも検出されなかった。

(2) 堆積環境の推定

ヨシ属は湿地的なところに生育し、ススキ属やタケア科は比較的乾いたところに生育している。このことから、これらの植物の出現状況を検討することによって、堆積当時の環境（乾燥・湿潤）を推定することができる。おもな分類群の推定生産量によると、イネ以外の分類群では全体的にタケア科（おもにネザサ節）やススキ属が優勢であり、ヨシ属は少量であることが分かる。

以上のことから、当時の遺跡周辺はネザサ節やススキ属などを主体としたイネ科植生であったと考えられ、比較的乾燥した開かれた環境であったと推定される。

6.まとめ

プランツ・オバール分析の結果、9トレンチの5層（暗褐色粘質土）からはイネが多量に検出され、稻

作が行われていた可能性が高いと判断された。また、9トレンチの4層より上位層準、および溝状遺構の6層などでも稻作が行われていた可能性が認められた。当時の遺跡周辺は、ネザサ節やスキ属などが生育する比較的乾燥した開かれた環境であったと推定される。

文献

- 杉山真二（2000）植物珪酸体（プラント・オパール）・考古学と植物学、同成社、P189～213
藤原宏志（1976）プラント・オパールの分析法の基礎的研究（1）一数種イネ科栽培植物の珪酸体標本と定量分析法－。考古学と自然科学、9、P15～29.
藤原宏志・杉山真二（1984）プラント・オパール分析法の基礎的研究（5）—プラント・オパール分析による水田址の探査－、考古学と自然科学、17、P73～85.

表1 佐土原町、小牧遺跡におけるプランツ・オバール分析結果
検出密度 (単位: ×100個/g)

分類群	学名	地点・試料						溝状遺構					
		1	2	3	4	5	6	1	2	3	4	5	6
イネ	<i>Oryza sativa</i> (domestic rice)	52	37	15	8	45	15	8	15	15	15	15	8
ヨシ属	<i>Phragmites</i> (reed)		7										
ススキ属型	<i>Miscanthus</i> type	15	15	15	30	15	15	67	38	15	37	15	
タケ亜科	<i>Bambusidae</i> (Bamboo)	179	157	83	68	112	8	136	134	53	91	127	60

推定生産量 (単位: kg/m²·cm)

イネ	<i>Oryza sativa</i> (domestic rice)	1.54	1.10	0.44	0.22	1.32	0.44	0.48	0.19	0.83	0.47	0.19	0.22
ヨシ属	<i>Phragmites</i> (reed)		0.47										
ススキ属型	<i>Miscanthus</i> type	0.19	0.19	0.19	0.37	0.19	0.19	0.83	0.47	0.19	0.46	0.19	
タケ亜科	<i>Bambusidae</i> (Bamboo)	0.86	0.76	0.40	0.33	0.54	0.04	0.65	0.65	0.25	0.44	0.61	0.29

※試料の仮比重を1.0と仮定して算出。

検出密度 (単位 : ×100個/g)

分類群	学名	地点・試料		土層断面					
		1	2	3	4	5	6	7	8
イネ	<i>Oryza sativa</i> (domestic rice)								
ヨシ属	<i>Phragmites</i> (reed)	8	7						
ススキ属型	<i>Miscanthus</i> type	15	7	15	30	15	7	15	67
タケ亞科	<i>Bambusoideae</i> (Bamboo)	150	157	83	68	100	8	136	134

推定生産量 (単位 : kg/m²·cm)

分類群	学名	土層断面					
		1	2	3	4	5	6
イネ	<i>Oryza sativa</i> (domestic rice)	0.50	0.47				
ヨシ属	<i>Phragmites</i> (reed)	0.19	0.09	0.19	0.37	0.19	0.09
ススキ属型	<i>Miscanthus</i> type					0.19	0.19
タケ亞科	<i>Bambusoideae</i> (Bamboo)	0.72	0.76	0.40	0.33	0.48	0.04
						0.65	0.65

※試料の収比重を1.0と仮定して算出。

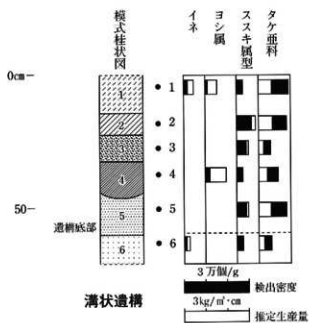
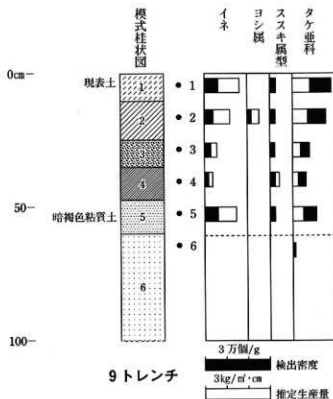
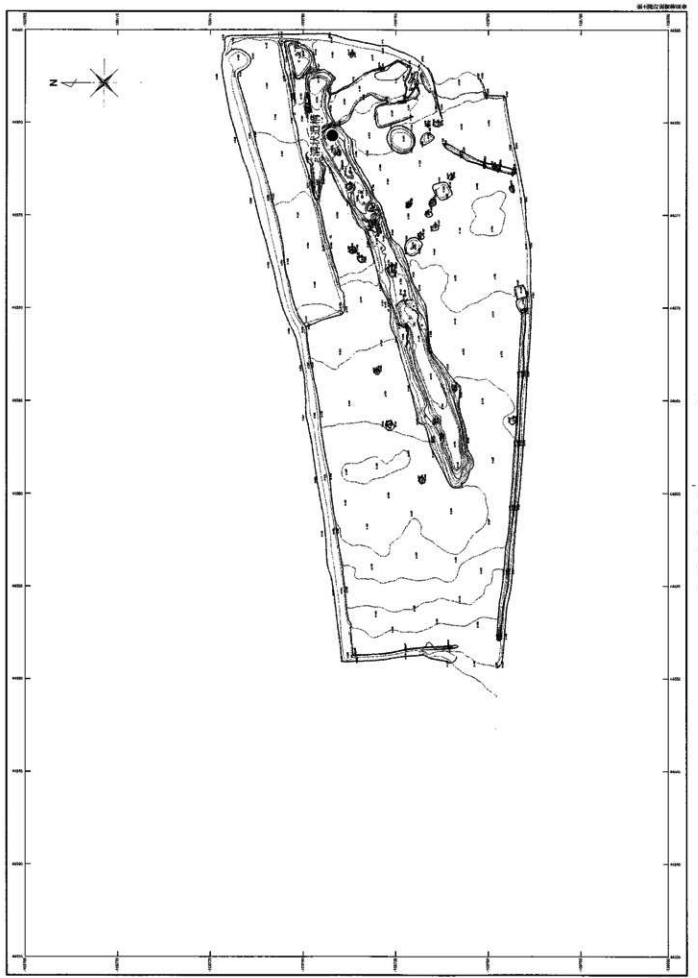


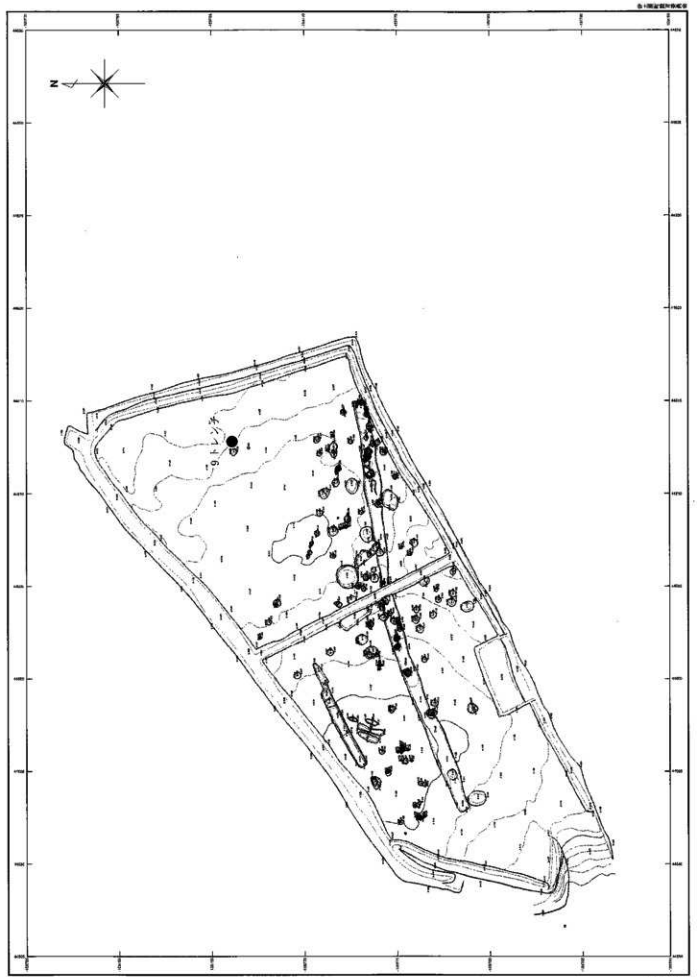
図1 佐土原町、小牧遺跡におけるプラント・オバール分析結果

小牧遺跡

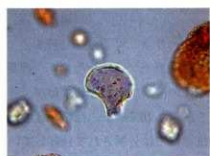


小牧遺跡における試料採取地点

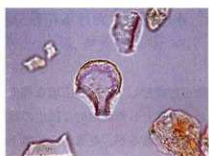
小牧遺跡



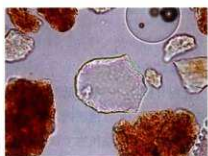
小牧遺跡における試料採取地点



イネ
試料 1



イネ
試料 6



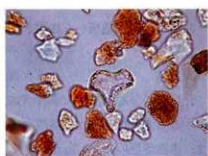
ヨシ属
試料 1



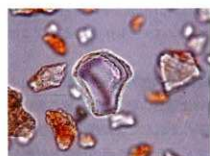
スキ属型
試料 5



スキ属型
試料 6



シバ属
試料 2



メダケ節型
試料 4



ネザサ節型
試料 5



棒状硅酸体
試料 3

植物硅酸体（プラント・オバール）の顕微鏡写真 ————— 50 μm

III. 小牧遺跡における花粉分析

1. はじめに

花粉分析は、一般に低湿地の堆積物を対象として比較的広域な植生・環境の復原に応用されており、遺跡調査においては遺構内の堆積物などを対象とした局地的な植生の推定も試みられている。花粉などの植物遺体は、未成堆積物では保存状況が良好であるが、乾燥的な環境下の堆積物では分解されて残存していない場合もある。

2. 試料

試料は、溝状造構から採取された5点である。試料採取箇所を分析結果の柱状図に示す。

3. 方法

花粉粒の分離抽出は、中村（1973）の方法をもとに、以下の手順で行った。

- 1) 5%水酸化カリウム溶液を加えて15分間湯煎
- 2) 水洗処理の後、0.5mmの篩で砾などの大きな粒子を取り除き、沈殿法で砂粒を除去
- 3) 25%フッ化水素溶液を加えて30分放置
- 4) 水洗処理の後、冰酢酸によって脱水してアセトトリス処理を施す
- 5) 再び冰酢酸を加えて水洗処理
- 6) 沈渣に石灰酸フクシンを加えて染色し、グリセリンゼリーで封入してプレパラート作成
- 7) 検鏡・計数

検鏡は、生物顕微鏡によって300~1000倍で行った。花粉の同定は、島倉（1973）および中村（1980）をアトラスとして、所有の現生標本との対比で行った。結果は同定レベルによって、科、亜科、属、亜属、節および種の階級で分類し、複数の分類群にまたがるものはハイフン（-）で結んで示した。イネ属については、中村（1974、1977）を参考にして、原生標本の表面模様・大きさ・孔・表層断面の特徴と対比して同定しているが、個体変化や類似種があることからイネ属とした。

4. 結果

(1) 分類群

出現した分類群は、樹木花粉18、樹木花粉と草本花粉を含むもの1、草本花粉11、シダ植物胞子2形態の計32である。分析結果を表1に示し、花粉数が100個以上計数された試料については花粉総数を基準とする花粉ダイアグラムを示した。主要な分類群について顕微鏡写真を示す。

【樹木花粉】

ツガ属、マツ属複維管束亞属、スギ、イチイ科一イヌガヤ科ヒノキ科、サワグルミ、ハンノキ属、ハシバミ属、クマシデ属アサダ、クリ、シイ属マテバシイ属、コナラ属コナラ亞属、コナラ属アカガシ亜属、ニシキギ科、トチノキ、ブドウ属、ニワトコ属ガマズミ属、イスノキ属

【樹木花粉と草本花粉を含むもの】

クワ科イラクサ科

[草本花粉]

イネ科、イネ属型、カヤツリグサ科、ソバ属、アカザ科ヒユ科、アブラナ科、チドメグサ亚科、セリ亞科、タンボボ亚科、キク亞科、ヨモギ属

[シダ植物胞子]

単条溝胞子、三条溝胞子

(2) 花粉群集の特徴

花粉組成の変化から、下位より2帯の花粉分帯を設定した。以下に、分帯ごとに花粉群集の特徴を記す。

1) I 帯 (3層～5層)

樹木花粉より草本花粉の占める割合が高い。草本花粉では、ヨモギ属やイネ科が多く、カヤツリグサ科、セリ亞科、タンボボ亚科、キク亞科が伴われる。樹木花粉では、コナラ属アカガシ亞属、クリ、コナラ属コナラ亞属が出現し、マツ属複維管束亞属、シイ属一マテバシイ属、イスノキ属が伴われる。

2) II 帯 (1層、2層)

樹木花粉より草本花粉の占める割合が高い。草本花粉では、イネ属型を伴うイネ科やヨモギ属が多く、クワ科一イラクサ科、カヤツリグサ科、ソバ属、アカザ科ヒユ科、チドメグサ亚科、セリ亞科、タンボボ亚科が伴われる。樹木花粉では、シイ属一マテバシイ属、マツ属複維管束亞属、スギ、ハンノキ属が増加している。

5. 花粉分析から推定される植生と環境

溝状遺構の埋土下部の堆積当時は、ヨモギ属を主としてイネ科、タンボボ亚科、カヤツリグサ科などが生育する比較的乾燥した人里の環境であったと考えられ、周辺地域にはコナラ属アカガシ亞属などの照葉樹林、およびクリ、コナラ属コナラ亞属などの落葉広葉樹が分布していたと推定される。

埋土上部の堆積当時は、イネ科やヨモギ属を主としてクワ科一イラクサ科、タンボボ亚科、カヤツリグサ科なども生育する人里の環境であったと考えられ、周辺では水田稻作およびソバなどを栽培する畑作が行われていたと推定される。また、周辺地域にはシイ属一マテバシイ属やコナラ属アカガシ亞属などの照葉樹林、およびマツ属複維管束亞属、スギなどの針葉樹林が分布していたと推定される。

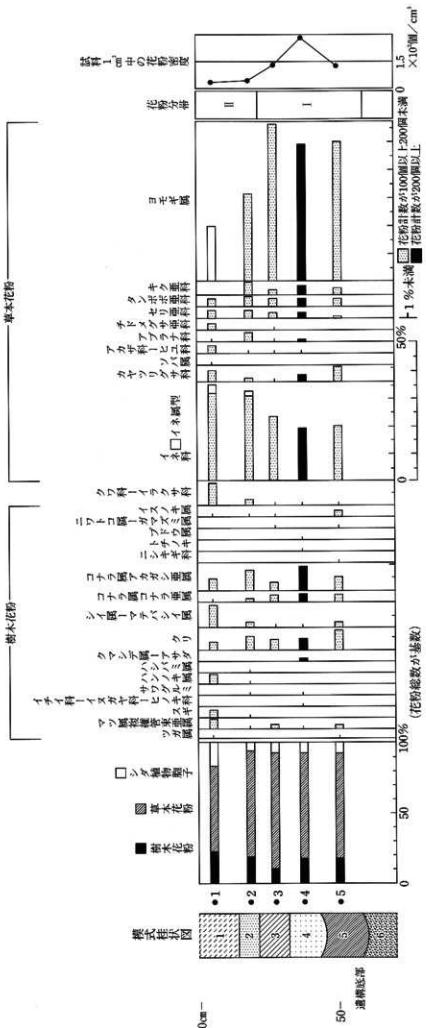
文献

- 中村純 (1973) 花粉分析・古今書院、P 82～110.
金原正明 (1993) 花粉分析法による古環境復原、新版古代の日本第10巻古代資料研究の方法、角川書店、P 248～262
島倉巳三郎 (1973) 日本植物の花粉形態、大阪市立自然科学博物館収蔵目録第5集、60P
中村純 (1980) 日本産花粉の標識、大阪自然史博物館収蔵目録第13集、91P
中村純 (1974) イネ科花粉について、とくにイネ (*Oryza sativa*) を中心として、第四紀研究、13、P 187～193
中村純 (1977) 稲作とイネ花粉、考古学と自然科学、第10号、P 21～30

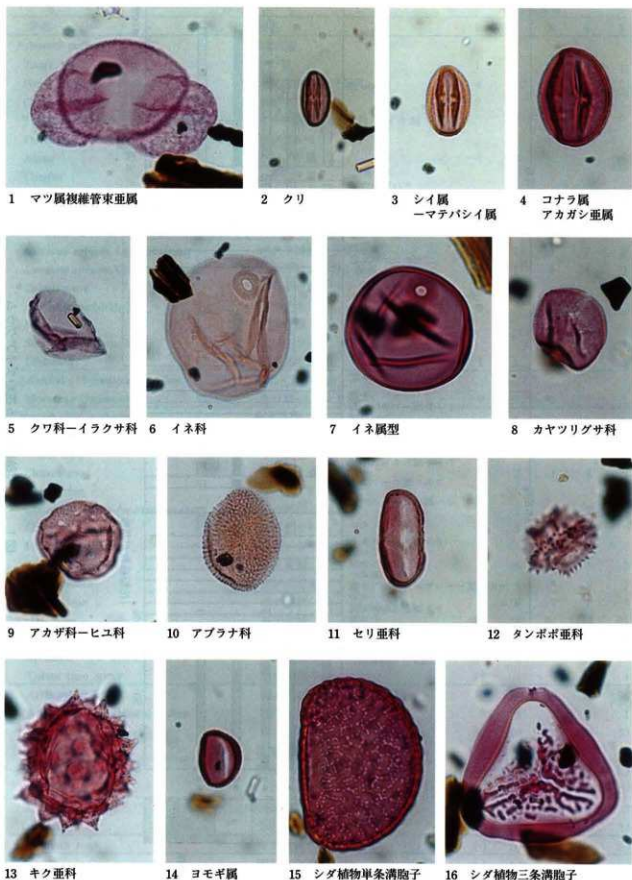
表1 小牧遺跡における花粉分析結果

学名	分類群 和名	溝状遺構				
		1	2	3	4	5
Arboreal pollen	樹木花粉					
<i>Tsuga</i>	ツガ属	1				1
<i>Pinus subgen. Diploxylon</i>	マツ属複維管束亞属	4	1	2	1	2
<i>Cryptomeria japonica</i>	スギ	2	1			
Taxaceae-Cephalotaxaceae-Cupressaceae	イチイ科-イヌガヤ科-ヒノキ科					1
<i>Pterocarya rhoifolia</i>	サワグルミ		1			2
<i>Alnus</i>	ハンノキ属	4	1			
<i>Corylus</i>	ハシバミ属		1			
<i>Carpinus-Ostrya japonica</i>	クマシデ属-アサダ				3	
<i>Castanea crenata</i>	クリ	2	8	5	12	13
<i>Castanea crenata-Castanopsis-Pasania</i>	クリ-シ属-マテバシイ属	10	3	1	2	3
<i>Quercus subgen. Lepidobalanus</i>	コナラ属コナラ亜属	1	2	3	7	5
<i>Quercus subgen. Cyclobalanopsis</i>	コナラ属アカガシ亜属	5	11	4	24	9
Celastraceae	ニシキギ科					1
<i>Aesculus turbinata</i>	トチノキ				1	
<i>Vitis</i>	ブドウ属				1	
<i>Sambucus-Viburnum</i>	ニワトコ属-ガマズミ属			1		1
<i>Ditsyphium</i>	イスノキ属	1	1	1		3
Arboreal · Nonarboreal pollen	樹木・草木花粉					
Moraceae-Urticaceae	クワ科-イラクサ科	9	3	1	1	1
Nonarboreal pollen	草本花粉					
Gramineae	イネ科	39	48	35	52	38
<i>Oriza type</i>	イネ属型	2	1			
Cyperaceae	カヤツリグサ科	4	2	1	6	9
<i>Fagopyrum</i>	ゾバ属	1				
Chenopodiaceae-Amaranthaceae	アカザ科-ヒユ科	2	1	1	2	
Cruciferae	アブラナ科	1	5	1	4	
Hydrocetoideae	チドメグサ亜科	2		1		
Apiodae	セリ亜科	4	5	3	6	2
Lactucoideae	タンポポ亜科	2	4	4	9	5
Astroideae	キク亜科		6	2	8	4
<i>Artemisia</i>	ヨモギ属	23	48	84	138	95
Fern spore	シダ植物胞子					
Monolate type spore	単条溝胞子	11	6	9	14	10
Trilate type spore	三条溝胞子	12	2	3	11	4
Arboreal pollen	樹木花粉	30	30	17	54	38
Arboreal · Nonarboreal pollen	樹木・草木花粉	9	3	1	1	1
Nonarboreal pollen	草木花粉	80	120	132	225	153
Total pollen	花粉総数	119	153	150	280	192
	試料1cm ³ 中の花粉密度	3.6	4.7	1.3	2.8	1.3
		×10 ³				
Unknown pollen	未同定花粉	7	9	11	12	9
Fern spore	シダ植物胞子	23	8	12	25	14
Helminth eggs	寄生虫卵	(-)	(-)	(-)	(-)	(-)
	明らかな消化残渣	(-)	(-)	(-)	(-)	(-)

図1 小牧農場における花粉ダイアグラム



小牧遺跡の花粉・胞子



— 10 μm

IV. 小牧遺跡における樹種同定

1. はじめに

木材は、セルロースを骨格とする木部細胞の集合体であり、解剖学的形質の特徴から概ね属レベルの同定が可能である。木材は花粉などの微化石と比較して移動性が少ないとことから、比較的近隣の森林植生の推定が可能であり、遺跡から出土したものについては木材の利用状況や流通を探る手がかりとなる。

2. 試料

試料は、溝状遺構の周辺から出土した杭材 2 点である。

3. 方法

カミソリを用いて、新鮮な基本的三断面（木材の横断面、放射断面、接線断面）を作製し、生物顕微鏡によって 60~600 倍で観察した。同定は解剖学的形質および現生標本との対比によって行った。

4. 結果

結果を表 1 に示し、分類群の顕微鏡写真を示す。以下に同定根拠となった特徴を記す。

コナラ属アカガシ亜属 *Quercus* subgen. *Cyclobalanopsis* ブナ科 図版 1

横断面：中型から大型の道管が、1~数列幅で年輪界に関係なく放射方面に配列する放射孔材である。道管は単独で複合しない。

放射断面：道管の穿孔は単穿孔で、放射組織は平伏細胞からなる。

接線断面：放射組織は同性放射組織型で、單列のものと大型の広放射組織からなる複合放射組織である。

以上の形質よりコナラ属アカガシ亜属に同定される。コナラ属アカガシ亜属にはアカガシ、イチイガシ、アラカシ、シラカシなどがあり、本州、四国、九州に分布する。常緑高木で、高さ 30m、経 1.5m 以上に達する。材は堅硬で強韌、弾力性強く耐湿性も高い。特に農耕具に用いられる。

ヤブツバキ *Camellia japonica* Linn. ツバキ科 図版 2

横断面：小型でやや角張った道管が、単独ないし 2~3 個複合して散在する散孔材である。道管の経はゆるやかに減少する。

放射断面：道管の穿孔は階段穿孔板からなる多孔穿孔で、階段の数は 8~30 本ぐらいである。放射組織は平伏細胞と直立細胞からなる異性で、直立細胞には、大きく膨れているものが存在する。

接線断面：放射組織は、異性放射組織型で、1~3 細胞幅である。直立細胞には大きく膨れているものが存在する。

以上の形質よりヤブツバキに同定される。ヤブツバキは本州、四国、九州に分布する。常緑の高木で、通常高さ 5~10m、経 20~30cm である。材は強韌で、耐朽性強く、建築、器具、楽器、船、彫刻などに用いられる。

5. 所見

分析の結果、杭材はコナラ属アカガシ亜属およびヤブツバキと同定された。どちらの樹種も温帯下部の暖温帯に分布し、照葉樹林の主要高木である。本遺跡の周辺地域にも生育していたと考えられ、多方面に利用されたと推定される。

文献

佐伯浩・原田浩 (1985) 針葉樹材の細胞・木材の構造、文永堂出版、P20~48

佐伯浩・原田浩 (1985) 広葉樹材の細胞・木材の構造、文永堂出版、P49~100

島地謙・伊東隆夫 (1988) 日本の遺跡出土木製品総覧、雄山閣、296P

表1 小牧遺跡における樹種同定結果

試料	結果(和名／学名)
杭No 1	コナラ属アカガシ亜属 <i>Quercus</i> subgen. <i>Cyclobalanopsis</i>
杭No 2	ヤブツバキ <i>Camellia japonica</i> Linn.

小牧遺跡の木材



横断面 ━━━━ : 0.5mm



放射断面 ━━━━ : 0.2mm



接線断面 ━━━━ : 0.2mm

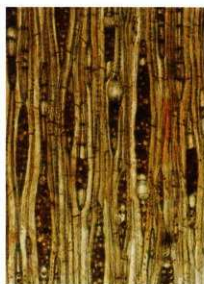
1. 杭No 1 コナラ属アカガシ亜属



横断面 ━━━━ : 0.5mm



放射断面 ━━━━ : 0.2mm



接線断面 ━━━━ : 0.2mm

2. 杭No 2 ヤブツバキ

宮崎県佐土原町文化財調査報告書第25集

小牧遺跡

2003年3月31日

編集・発行 宮崎県宮崎郡佐土原町教育委員会
〒880-0297 宮崎県宮崎郡佐土原町大字下田島20660番地
TEL 0985-73-1111

印 刷 (㈲池田印刷)
〒880-0303 宮崎県宮崎郡佐土原町大字東上那珂17588-10
TEL 0985-74-0130